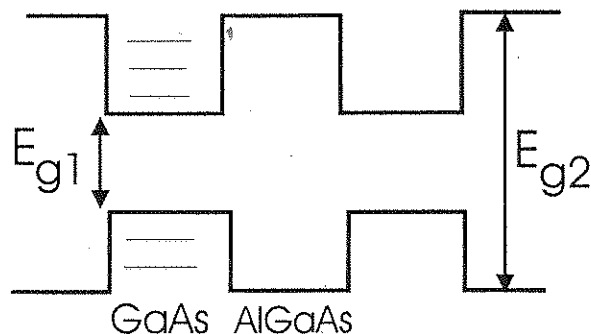


1 Πυκνότητα καταστάσεων

1.1 Εισαγωγή

Οι εφαρμογές της κβαντομηχανικής στην μικροελεκτρονική και οπτοηλεκτρονική έχουν να κάνουν με μεγάλο αριθμό φορέων, οι οποίοι για ηλεκτρόνια (φερμιόνια) στην κατάσταση ισσοροπίας ικανοποιούν την αρχή του Pauli για την κατανομή τους στις καταστάσεις του συστήματος. Με την εφαρμογή εξωτερικού πεδίου ή άλλης διαταραχής έχουμε φαινόμενα μεταφοράς ή αλληλεπίδρασης εκτός ισσοροπίας. Η συμμετοχή στα φαινόμενα μεταφοράς δεν μπορεί να εξαρτάται από τις λεπτομέρειες της χυματοσυνάρτησης (π.χ. οριακές συνυθήκες) για κάθε κατειλημένη κατάσταση, αλλά από την ενεργειακή κατανομή των κατειλημένων καταστάσεων, πού είναι ανάλογη της πυκνότητας καταστάσεων (ανά μονάδα ενέργειας) και της πιθανότητας κατάληψης των καταστάσεων αυτών. Είναι προφανές ότι αυξάνοντας τον όγκο (ή διαστάσεις) ενός συστήματος ηλεκτρονίων, περιμένουμε άυξηση του αριθμού των καταστάσεων σε δεδομένο ενεργειακό εύρος dE . Αυτό οφείλεται στο γεγονός ότι λόγω ελλάτωσης του περιορισμού οι αποστάσεις μεταξύ διαδοχικών ενεργειακών καταστάσεων είναι μικρότερες. Π.χ. για $1d$ σε πεπερασμένο μήκος L οι ενεργειακές αποστάσεις είναι ανάλογες του $1/L^2$, ενώ οι αποστάσεις στον χώρο των k είναι $2\pi/L$ για περιοδικές οριακές συνυθήκες. Ετσι για να έχουμε μία πυκνότητα που δεν εξαρτάται από τις διαστάσεις του συστήματος, αφού προσθέσουμε τις καταστάσεις k που έχουν ενέργεια στο εύρος dE , διαιρούμε με τις αντίστοιχες διαστάσεις. Θα ορίσουμε δηλ. την πυκνότητα καταστάσεων ανά μονάδα ενέργειας ανά μονάδα μήκους για μονοδιάστατο σύστημα, η ανά μονάδα επιφάνειας για διδιάστατο σύστημα ή ανα μονάδα όγκου για τρισδιάστατο.



Σχ. 1 (α) Κβαντική ετεροδομή με δύο πηγάδια (στρώμα $GaAs$) Και φράγματα (στρώματα $AlGaAs$). Στο σχεδιάγραμμα δίνεται η ενέργεια $E_c(z)$ για την ζώνη αγωγιμότητας και η ενέργεια $E_v(z)$ για την ζώνη σύνθετης κάμπτεται στα στρώματα στην z -κατεύθυνση. (β) Σύρμα $GaAs$ με δύο επαφές (γ) Νανοτελείες τηλιγωγικές σε μονοτικό υλικό.

Ταυτόχρονα λόγω των περιορισμού της κάψησης των ηλεκτρονίων έχουμε την παρουσία κβάντωσης των ενεργειακών σταύρων, ιδιαίτερη άν κατέβοϋμε στην κλίμακα νανοδομών, με μέγεθος της τάξης μερικών nm . Εδώ έχουμε διακριτές ενεργειακές στάυρους που εξαρτώνται από το μέγεθος των νανοδομών. Οι παράλληλες σύνθετες νανοδομές έχουν ιδιότητες που είναι πολύ διαφορετικές από μακροσκοπικά τρισδιάστατα υλικά. Ελεγχος των διαστάσεων και των υλικών στις σύνθετες δομές, μας δίνει τη δυνατότητα να κατασκεύασουμε υλικά με προσαρμοσμένες ιδιότητες για συγκεκριμένες εφαρμογές. Οι ιδιαίτερες ιδιότητες σε μεγάλο βαθμό θα εξαρτώνται από την ενεργειακή κατανομή των καταστάσεων, δηλ. την πυκνότητα καταστάσεων¹. Για να εκτιμήσουμε την σημασία της πυκνότητας καταστάσεων θα μελετήσουμε απλά μοντέλα σύνθετων υλικών.

¹ Δεν είναι η μόνη παράμετρος που επιεκάστει τις ιδιότητες. Ιδίας ο λόγος του αριθμού των ατόμων στην επιφάνεια πρός αυτά στον όγκο είναι συγχρόνια καταστάσεις.

Επίσης οι νανοδομές είναι εμφυτευμένες σε μακροσκοπικά υλικά (matrix) που επιφεύγουν τις ηλεκτρονικές καταστάσεις στις νανοδομές. Αυτό δεν θα το πάρουμε υπόψη καθόσον απαιτεί υπολογιστική αντιμετώπιση. Παρόλα αυτά οι απλές νανοδομές που θα μελετήσουμε θα μας δώσουν τις βασικές αρχές πίσω από τα χβαντικά φαινόμενα σε νανοδομές. Εποι το πλάνο είναι να μελετήσουμε την πυκνότητα καταστάσεων σε ιδανικά ηλεκτρονικά αέρια σε τρείς ($3d$), δύο ($2d$) και μία ($1d$) διάσταση. Αυτά θα μας χρειαστούν για να μελετήσουμε τις αντίστοιχες πυκνότητες καταστάσεων σε ρεαλιστικές νανοδομές, όπου π.χ. το επίπεδο έχει πάντα πάχος (χβαντικό πηγάδι) και το σύρμα (χβαντικό σύρμα) επίσης.

Σε ένα σύστημα με συνεχές ενέργειακό φάσμα μία χρήσιμη ποσότητα είναι η πυκνότητα καταστάσεων ανά μονάδα ενέργειας. Για το σκοπό αυτό δύο στοιχεία είναι απαραίτητα να έχουμε ένα δείκτη για την απαρίθμηση των ενέργειακών καταστάσεων και μία σχέση που συνδέει την ενέργεια της κατάστασης με το δείκτη. Για την αρίθμηση μεγάλη βοήθεια ήρθε από την χρήση των περιοδικών οριακών συνθηκών, ενώ και η σχέση διασποράς είναι απλή. Οπως τονίσαμε, οι οριακές συνθήκες δεν αλλάζουν την πυκνότητα καταστάσεων.

1.1.1 Πυκνότητα καταστάσεων σε 3δ

Ας θεωρήσουμε ότι τα ηλεκτρόνια είναι περιορισμένα σε ένα κουτί διαστάσεων $L \times L \times L$ στις τρείς κατευθύνσεις (Σχ. 2α). Η λύση της εξίσωσης Schrodinger για ελεύθερα σωματίδια είναι επίπεδα κύματα

$$\psi_{\vec{k}}(\vec{r}) = \sqrt{\frac{1}{\Omega}} e^{i\vec{k} \cdot \vec{r}}, \quad \vec{k} = (k_x, k_y, k_z)$$

κανονικοποιημένη σε όγκο $\Omega = L^3$, με αντίστοιχη ενέργεια

$$E_{\vec{k}} = \frac{\hbar^2 k_x^2}{2m} + \frac{\hbar^2 k_y^2}{2m} + \frac{\hbar^2 k_z^2}{2m} \equiv \frac{\hbar^2 k^2}{2m}.$$

Εισάγοντας περιοδικές οριακές συνθήκες στις τρείς κατευθύνσεις,

$$\psi(x+L, y, z) = \psi(x, y, z), \quad \psi(x, y+L, z) = \psi(x, y, z), \quad \psi(x, y, z+L) = \psi(x, y, z)$$

οι τρείς συνιστώσες του $\vec{k} = (k_x, k_y, k_z)$ παίρνουν διακριτές τιμές,

$$\psi(x+L, y, z) = \psi(x, y, z) \implies e^{ik_x L} e^{i\vec{k} \cdot \vec{r}} = e^{i\vec{k} \cdot \vec{r}} \implies k_x = n_x \frac{2\pi}{L},$$

ώστε για τις τρείς κατευθύνσεις

$$k_x = n_x \frac{2\pi}{L}, \quad k_y = n_y \frac{2\pi}{L}, \quad k_z = n_z \frac{2\pi}{L},$$

όπου $n_x, n_y, n_z = 0, \pm 1, \pm 2, \dots$ είναι ακέραιοι αριθμοί. Εποι κάθε κατάσταση στον \vec{k} -χώρο καταλαμβάνει \vec{k} -όγκο $(2\pi/L)^3$, όπου $\Omega = L^3$ είναι ο όγκος του κουτιού². Επειδή οι επιφάνειες σταθερής ενέργειας (για το τρισδιάστατο ελεύθερο ηλεκτρονικό αέριο) στον k -χώρο είναι σφαιρικές, θα θεωρήσουμε τον \vec{k} -όγκο που περικλείεται από δύο σφαιρικές επιφάνειες σταθερής ενέργειας που απέχουν μεταξύ τους κατά dk στον \vec{k} -χώρο με αντίστοιχη διαφορά ενέργειας dE . Ο αριθμός των καταστάσεων μεταξύ των δύο σφαιρών είναι ο όγκος δια τον όγκο μιας κατάστασης, δηλ.

$$\text{αριθμός καταστάσεων στο διάστημα } dE, \quad dN = 2 \frac{4\pi k^2 dk}{(2\pi/L)^3} = \frac{\Omega}{\pi^3} k^2 dk,$$

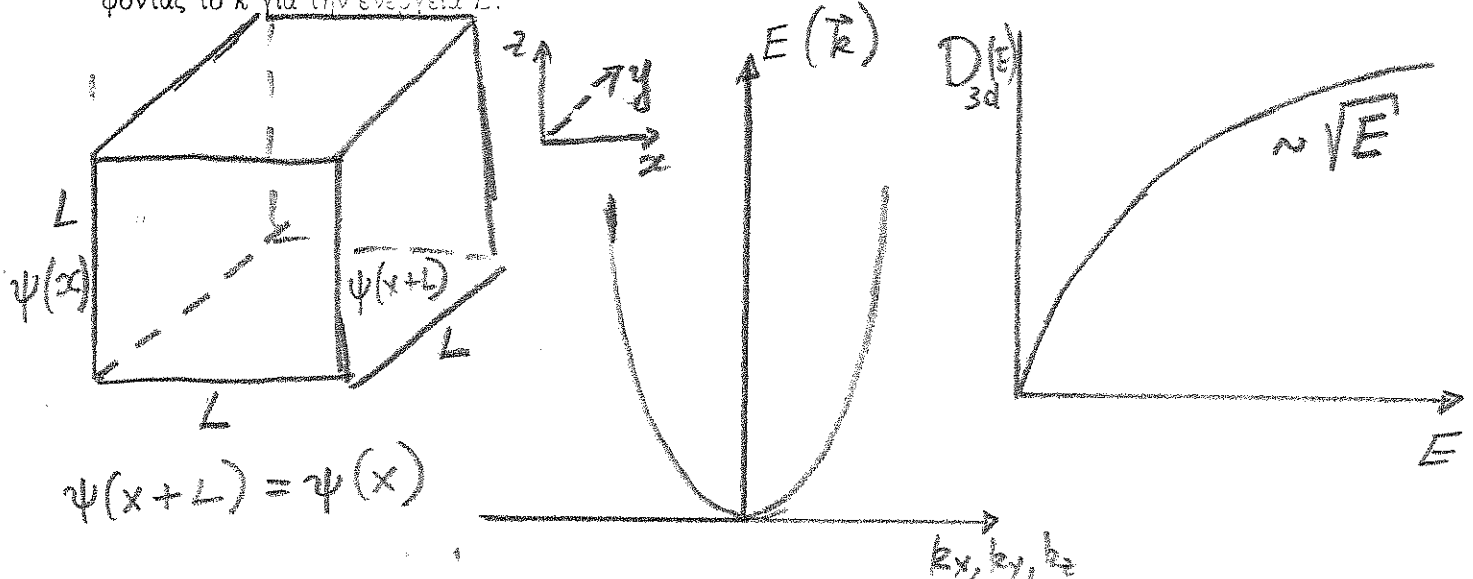
²Η γενίκευση σε κουτί με διαστάσεις $L_x \times L_y \times L_z$ είναι προφανής, χρησιμοποιόντας για όγκο $\Omega = L_x L_y L_z$. Στις σχέσεις για τα κυματοδιανύσματα εισέρχονται τα αντίστοιχα μήκη, ενώ ο όγκος κάθε κατάστασης είναι $\Omega_{\vec{k}} = (2\pi)^3 / \Omega = (2\pi)^3 / (L_x L_y L_z)$.

όπου ο παράγοντας 2 στην αρχή οφείλεται στο γεγονός ότι σε κάθε κατάσταση έχουμε εκφυλισμό $g = 2$ λόγω του σπίν. Διαπρόντες με το εύρος ενέργειας dE και τον έγχο του κουπιού έχουμε την πυκνότητα καταστάσεων ανά μονάδη ενέργειας και ανά μονάδα όγκου,

δ.κ.

$$D_{3d}(E) = \frac{dN}{\Omega dE} = \frac{\cancel{\rho}}{\pi^3} k^2 dk \frac{1}{\cancel{\rho} dE} = \frac{1}{\pi^3} k^2 \frac{1}{|dE/dk|} = \frac{1}{2\pi^2} \left(\frac{2m}{\hbar^2} \right)^{3/2} E^{1/2},$$

όπου χρησιμοποιήσαμε τη σχέση διασποράς ($E \sim k^2$) και την παράγωγο ($dE/dk \sim k \sim E^{1/2}$), απαλού- φοντας το k για την ενέργεια E .



Σχ. 2 (α) Σιδηματική με περιορισμένες οριζόντιες συνυθήκες. (β) Σχέση διασποράς $E(\vec{k})$ (γ) πυκνότητα καταστάσεων $D_{3d}(E)$.

1.1.2 Πυκνότητα καταστάσεων σε 3δ

Ας θεωρήσουμε ότι τα ηλεκτρόνια είναι περιορισμένα σε ένα επίπεδο διαστάσεων $L \times L$ στις δύο κατευθύνσεις (Σχ. 3δ), ενώ στην άξονα της ψήσης έχει σχεδόν μηδενικό πάχος. Η λύση της εξίσωσης Schrodinger για ελεύθερα σωματίδια είναι επίπεδα χύματα σε δύο διαστάσεις

$$\psi_{\vec{k}_{\parallel}}(\vec{r}_{\parallel}) = \sqrt{\frac{1}{S}} e^{i\vec{k}_{\parallel} \cdot \vec{r}_{\parallel}}, \quad \vec{k}_{\parallel} = (k_x, k_y),$$

κανονικοποιημένη σε επιφάνεια $S = L^2$, με αντίστοιχη ενέργεια

$$E_{\vec{k}_{\parallel}} = \frac{\hbar^2 k_x^2}{2m} + \frac{\hbar^2 k_y^2}{2m} \equiv \frac{\hbar^2 k_{\parallel}^2}{2m}.$$

Εισάγοντας περιορισμένες οριζόντιες κατευθύνσεις στις δύο κατευθύνσεις,

$$\psi(x+L, y, z) = \psi(x, y, z), \quad \psi(x, y+L, z) = \psi(x, y, z),$$

οι δύο συνιστώσες του $\vec{k} = (k_x, k_y)$ παίρνουν διαχριτές τιμές,

$$\psi(x+L, y) = \psi(x, y) \implies e^{ik_x L} e^{i\vec{k}_{\parallel} \cdot \vec{r}_{\parallel}} = e^{i\vec{k}_{\parallel} \cdot \vec{r}_{\parallel}} \implies k_x = n_x \frac{2\pi}{L},$$

ώστε για τις δύο κατευθύνσεις

$$k_x = n_x \frac{2\pi}{L}, \quad k_y = n_y \frac{2\pi}{L},$$

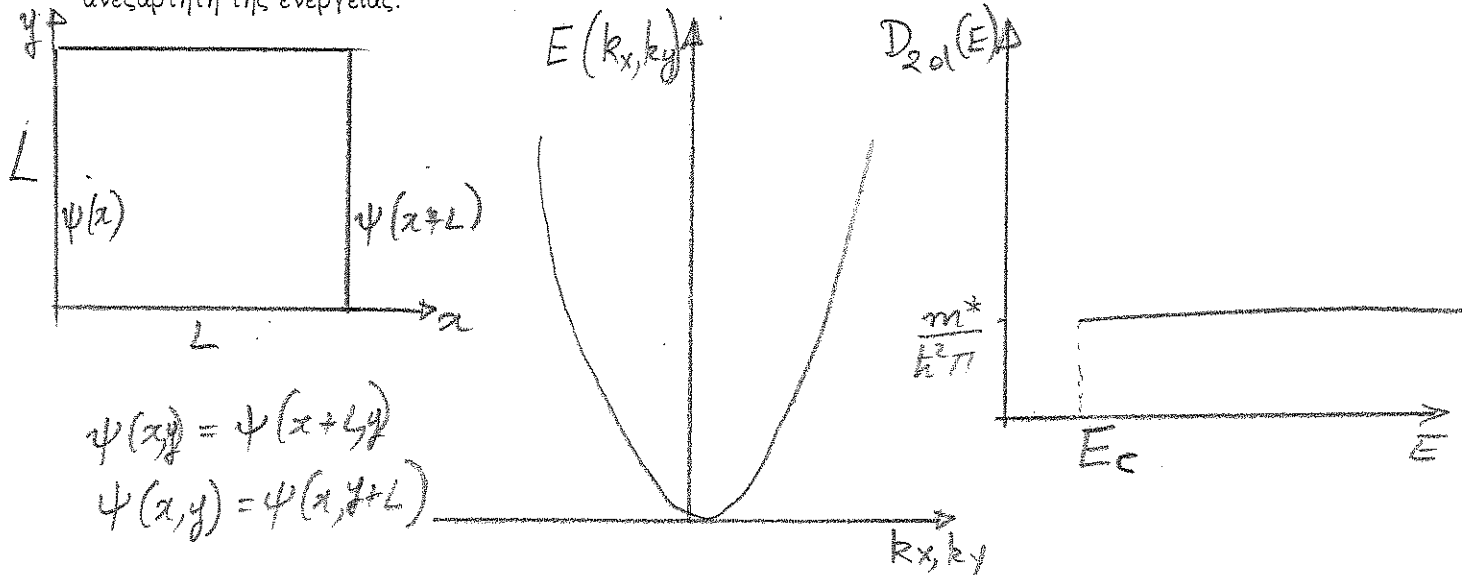
όπου $n_x, n_y = 0, \pm 1, \pm 2, \dots$ είναι ακέραιοι αριθμοί. Η παραπάνω στοιχεία στον \vec{k}_{\parallel} -χώρο καταλαμβάνει \vec{k}_{\parallel} -επιφάνεια $\delta S_k = (2\pi/L)^2$, όπου $S = L^2$ είναι η επιφάνεια της επιφάνειας. Επειδή ως καμπύλες σταθερής ενέργειας στον διδιάστατο \vec{k}_{\parallel} -χώρο είναι κυκλικές, οι διαστάσεις της περιφέρειας της διαστάσης που περικλείεται από δύο κυκλικές καμπύλες σταθερής ενέργειας που υπόγεια στην k_{\parallel} -επιφάνεια είναι διαστάτο \vec{k}_{\parallel} -χώρο με αντίστοιχη διαφορά ενέργειας dE . Ο αριθμός των καταστάσεων μεταξύ των διαστάσεων είναι η επιφάνεια $2\pi k_{\parallel} dk_{\parallel}$ δια την επιφάνεια μιας καταστάσης, δηλ.

$$\text{αριθμός καταστάσεων στο διάστημα } dE, \quad dN = 2 \frac{2\pi k_{\parallel} dk_{\parallel}}{(2\pi/L)^2} = \frac{S}{\pi} k_{\parallel} dk_{\parallel},$$

όπου πάλι ο παράγοντας 2 στην αρχή οφείλεται στο γεγονός ότι οι ίδιες κατάστασης έχουμε εκφυλισμό $g = 2$ λόγω του σπίν. Διαιρόντας με το εύρος ενέργειας E και την επιφάνεια του επιπέδου S έχουμε την πυκνότητα καταστάσεων ανά μονάδα ενέργειας και ανά μονάδα επιφάνειας,

$$D_{2d}(E) = \frac{dN}{dE} = \frac{S}{\pi} k_{\parallel} dk_{\parallel} \frac{1}{(2\pi/L)^2} = \frac{1}{\pi} \frac{k_{\parallel} dk_{\parallel}}{dE} = \frac{1}{\pi},$$

όπου χρησιμοποιήσαμε από τη σχέση διασποράς $dk_{\parallel} \sim k_{\parallel} dk_{\parallel}$. Μαζί για κάθε καταστάση είναι ανεξάρτητη της ενέργειας.



Σχ. 3 (α) 2d λεπτό στρώμα στο $(x - y)$ επίπεδο με περιορισμένες οριακές συνθήκες. (β) Παραβολική σχέση διασποράς $E_{\vec{k}_{\parallel}}(\vec{k}_x)$ και παραβολοειδές στο $k_x - k_y$ επίπεδο. (γ) πυκνότητα καταστάσεων $D_{2d}(E)$.

1.1.3 Πυκνότητα καταστάσεων σε 1d

Ας θεωρήσουμε ότι τα ηλεκτρόνια είναι περιωρισμένα στην πολύ λεπτή στρώματος μήκους L (Σχ. 4α). Η λύση της εξίσωσης Schrodinger για ελεύθερα στρώματα είναι η μόνη που μπορεί να διάσταση

$$\psi_k(x) = \sqrt{\frac{1}{L}} e^{ikx},$$

κανονικοποιημένη σε μήκος L με αντίστοιχη ενέργεια

$$E_k = \frac{\hbar^2 k^2}{2m}.$$

Εισάγοντας περιοδικές οριακές συνθήκες στην 1d-κατεύθυνση,

$$\psi(x+L) = \psi(x) \implies e^{ikL} e^{ikx} = e^{ikx} \implies k = n \frac{\pi i}{L},$$

έκυρε διακριτές αριθμούς για k .

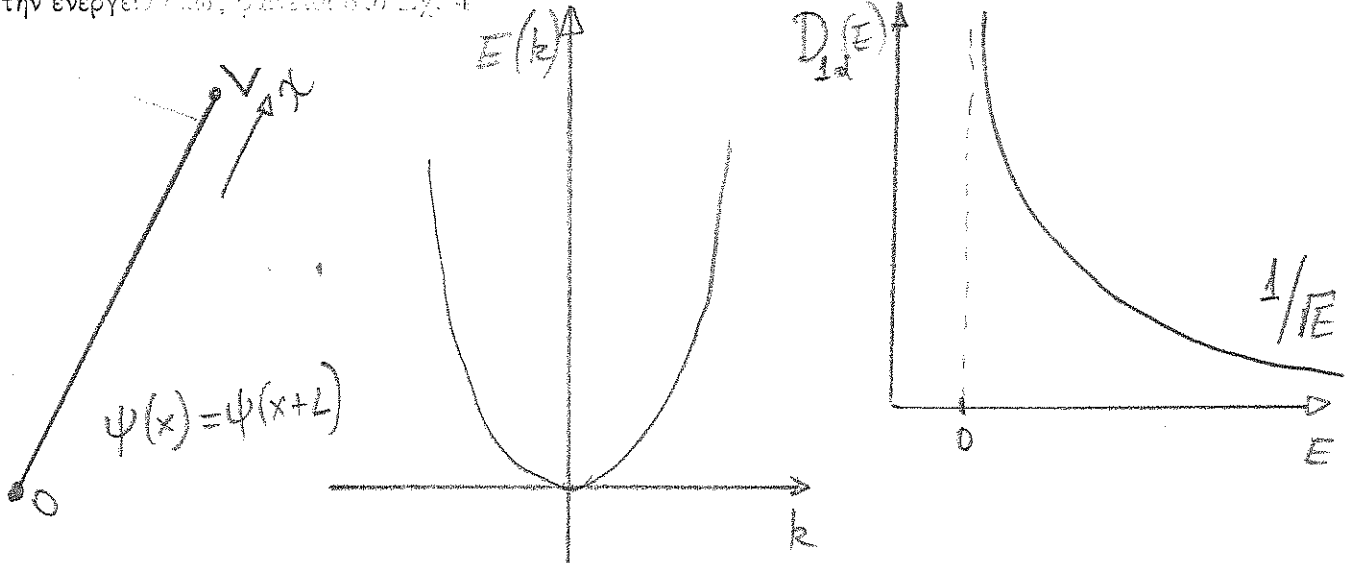
όπου $n = 0, \pm 1, \pm 2, \dots$ είναι ωιάρωιος αριθμός. Ετσι κάθε κατάσταση στον μονοδιάστατο k -χώρο καταλαμβάνει k -μήκος $\delta L_k = (2\pi/L)$. Σε μία διάσταση υπάρχει ένα πρός ένα αντίστοιχια μεταξύ k και E , εκτος από τον εκχυλισμό για $\pm k$. Ήπη για ψ_k ένα k -μήκος κατά dk έχουμε αντίστοιχη διαφορά ενέργειας dE . Ο αριθμός των καταστάσεων στο μήκος dk είναι το μήκος $2dk$ (εκφυλισμός $\pm k$) δια το k -μήκος μιας κατάστασης, δηλ.

$$\text{αριθμός καταστάσεων στο διάστημα } dE, \quad dN = 2 \frac{2dk}{(2\pi/L)} = \frac{2L}{\pi} dk,$$

όπου πάλι ο παράγοντας 2 στην αρχή ορείλεται στο γεγονός ότι σε κάθε κατάσταση έχουμε εκφυλισμό $g = 2$ λόγω του σπίν. Διαφέρει το με το εύρος ενέργειας dE και το μήκος L έχουμε την πυκνότητα καταστάσεων ανά μονάδα ενέργειας και ανά μονάδα μήκους,

$$D_{1d}(E) = \frac{dN}{dE} = \frac{2L}{\pi} \frac{dk}{L/dE} = \frac{2}{\pi} \frac{1}{|dE/dk|} = \frac{1}{\pi \hbar^2} \sqrt{\frac{m}{2E}},$$

όπου χρησιμοποιούμε την επιτύχηση ποράς $dE \sim \hbar dk$. Εδώ η πυκνότητα καταστάσεων είναι φθίνουσα με την ενέργεια (πλέον ράβεται στο Σχ. 4).



Σχ. 4 (α) Μονοδιάστατη κατάσταση περιοδικές οριακές συνθήκες. (β) Σχέση διασποράς $E(k)$ (γ) πυκνότητα καταστάσεων $D_{1d}(E)$.

Να τονίσουμε ότι γενέριαν περιοδικά οριακά συνθηκών (στο μήκος L) είναι μέν ένα μαθηματικό κατασκεύασμα, αλλά δεν είναι τα ρυσικά συμπεράσματα. Και τούτο διότι αναφερόμαστε σε ένα σύστημα με μεγάλη ποσότητα αντίστοιχων κατειλημένων καταστάσεων. Αυτό δεν σημαίνει ότι οι κυματοσχέσεις με αντίστοιχες ενέργειες είναι ανεξάρτητες των οριακών συνθηκών. Το αντίθετο μάλιστα, το οποίο είναι σημαντικό είναι ότι η ευαισθησία στις οριακές καταστάσεις εντοπίζεται κυρίως στην συγκεκριμένη ποσότητα ανάρτησης κιντά στα άκρα του συστήματος, που δεν αλλάζει την κατανομή στο κύριο μέρος. Ωστόσο είναι ενδιαφερόμαστε για φαινόμενα που εντοπίζονται στην επιφάνεια πρέπει να επιλέξουμε μια προστιθέμενη ποσότητα λόγω της ποσότητας ρυσικές οριακές συνθήκες. Οταν ενδιαφερόμαστε σε ιδιότητες που αφορούν στην ποσότητα της ποσότητας δεν αλλάζουν, κυρίως διότι δεν αλλάζει η πυκνότητα καταστάσεων. Ήπη για περιφέρσεις πάλι: το μονοδιάστατο πρόβλημα, αλλά αυτή τη φορά επιβάλλοντας μηρευτική της κατανοτητας στη σύρμα με μηδενικές οριακές συνθήκες στα άκρα, δηλ. στα άκρα έχουμε άπειρα φράγματα.

Η λύση της εξισώσης $\psi_q(x) = 0$ για ελεύθερη σωματίδια σε φραγμένο σύρμα με μηδενικές οριακές συνθήκες στα άκρα, είναι τη

$$\text{δηλ. } q.e. \quad \psi_q(x=0) = \psi_q(x=L) = 0$$

κανονικοποιημένη σε μήκος L με αντίστοιχη ενέργεια,

$$E_q = \frac{\hbar^2 q^2}{2m}.$$

Οι μηδενικές οριακές συνθήκες στα $x = 0, L$,

$$\psi(x + L) = \psi(x) \Rightarrow \psi(0, k) = \psi(L, k),$$

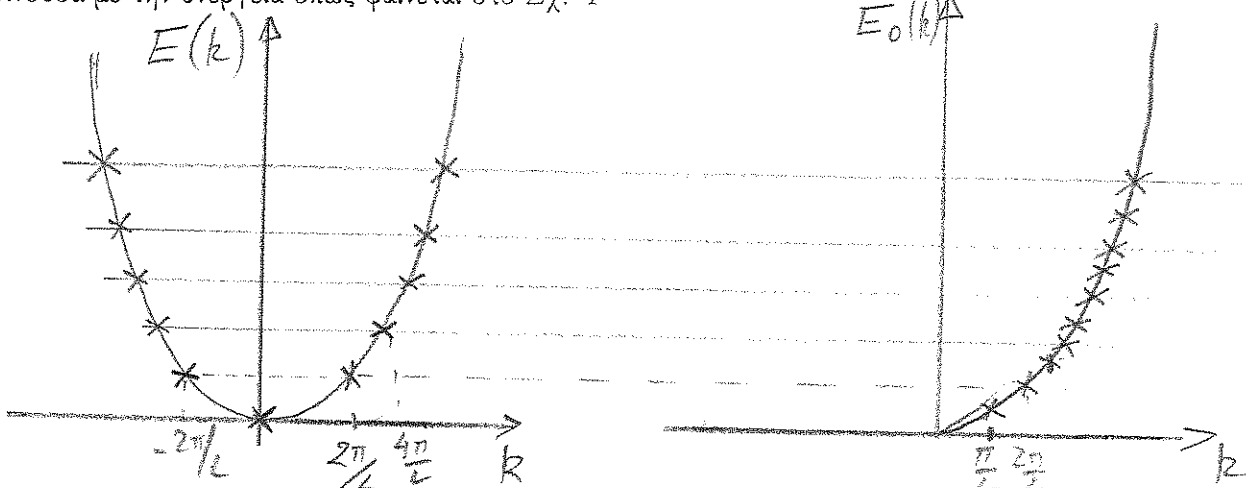
όπου $n_0 = 1, 2, \dots$ είναι θετικός ακέραιος αριθμός. Το ψ που έχει την παραπάνω μορφή οι αρνητικοί δείκτες δεν δίνουν διαφορετικές λύσεις. Εποι ούτε κατάσταση στον ίδιο γεγονότο που διατίθεται ότι καταλαμβάνει q -μήκος $\delta L_q = (\pi/L)$, δηλ. το $1/2$ από αυτό για περιοδικές οριακές παρατάξεις. Στην παραπάνω παρατίθεται το γεγονός ότι δεν έχουμε καταστάσεις για $q < 0$, και δεν έχουμε τον ίδιο γεγονότο για $q > 0$, για για ένα q -μήκος κατά dq έχουμε αντίστοιχη διαφορά ενέργειας dE . Ο αριθμός των καταστάσεων αυτού μήκους dq είναι το μήκος dq δια το q -μήκος μιας καταστάσης, δηλ.

$$\text{αριθμός καταστάσεων στο διάστημα } dk \text{, } dN = \frac{1}{(\pi/L)} = \frac{2L}{\pi} dk,$$

δηλ. ακριβώς το ίδιο όπως και με περιοδικές οριακές ανάλογες συνθήκες, παράγοντας 2 στην αρχή οφείλεται πάλι στον εκφυλισμό $g = 2$ λόγω του σπίν. Συμβολίζεται την είσοδο συνημμένων dE και το μήκος L έχουμε πάλι την ίδια πυκνότητα καταστάσεων ανά μονάδα ενέργειας, και ανά μονάδα μήκους,

$$D_{1d}(E) = \frac{dN}{LdE} = \frac{2L}{\pi} dq \frac{1}{LdE} = \frac{2}{\pi} \frac{1}{\sqrt{\frac{E - E_0(k)}{2m}}} = \frac{2}{\pi} \frac{1}{\sqrt{\frac{E - E_0(k)}{2m}}},$$

όπου χρησιμοποιήσαμε από τη σχέση διασποράς $dE \sim kdE$. Ηλ. πάλι η πυκνότητα καταστάσεων είναι φύσινουσα με την ενέργεια όπως φαίνεται στο Σχ. 4



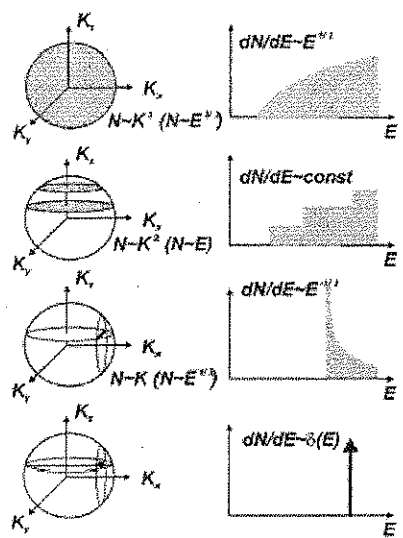
Σχ. 5 Μονοδιάστατο σύρμα μήκους L με μηδενικές οριακές συνθήκες. Είναι η πυκνότητα καταστάσεων σταθμών με περιοδικές και μηδενικές οριακές συνθήκες.

Συνοψίζοντας, η πυκνότητα καταστάσεων σε μήκος, δύση και τρεις μοναδικές είναι:

$$D(E) = g \frac{2m}{2\pi\hbar^2} \begin{cases} \sqrt{\frac{\hbar^2}{2mE}} & \sim E^{-1/2} \\ 1 & \sim \text{const} \\ \sqrt{\frac{2mE_0}{\hbar^2}} & \sim E^{1/2} \end{cases} \quad (1)$$

όπως φαίνεται και στο Σχ. 6.

Σχ. 6 Σύγκριση της πυκνότητας καταστάσεων για (α) τρείς ($3d$), (β) δύο ($2d$), (γ) μία ($1d$) διαστάσεις..



Για τις υπολογισμές της πυκνότητας καταστάσεων σε $3d$, $2d$ και $1d$ χρησιμοποιήθηκε K -όγκος, K -επιφάνεια και k -μήκος αντιστοιχία.

1.1.4 Πυκνότητα καταστάσεων: Γενικευμένη σχέση

Στους παραπάνω υπολογισμούς δουλέψαμε με στοιχειώδεις όγκους, επιφάνειες και μήκη. Αυτό ήταν εφικτό επειδή οι επιφάνειες σταθερής ενέργειας ήταν πολύ απλά σχήματα. Εδώ θα εισάγουμε ένα γενικευμένο υπολογισμό που ισχύει για πιό πολύπλοκες επιφάνειες, που μπορούμε να προχωρήσουμε με εν μέρει αναλυτικές πράξεις και εν μέρει αριθμητικούς υπολογισμούς. Εδώ θα περιοριστούμε σε παραδείγματα για τα οποία έχουμε αναλυτική σχέση.

Η πυκνότητα καταστάσεων ανά μονάδα όγκου και ενέργειας ($D(E)$) μας δίνει τη δυνατότητα να υπολογίσουμε τον αριθμό καταστάσεων ανά μονάδα όγκου (ΔN) σε ένα εύρος ενέργειας $[E_1, E_1 + \Delta E]$

$$\Delta N = \int_{E_1}^{E_1 + \Delta E} D(E) dE$$

όπου για μιρό $\Delta E \rightarrow dE$ μπορούμε να αντιστρέψουμε τη σχέση και να υπολογίσουμε το $D(E)$ εαν μπορούμε να υπολογίσουμε τον αριθμό καταστάσεων ανά μονάδα όγκου $dN = D(E)dE$ με ενέργεια μεταξύ $[E_1, E_1 + dE]$,

$$D(E) = \frac{dN}{dE}$$

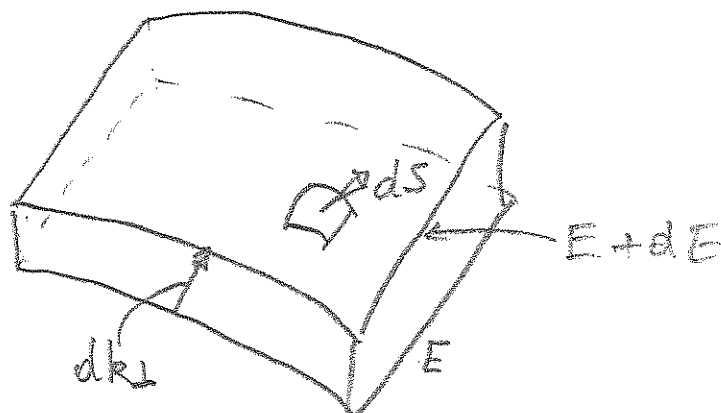
Ο υπολογισμός του dN ήταν εύκολος για σφαιρικές επιφάνειες σταθερής ενέργειας. Για μή σφαιρική επιφάνεια πάλι ωμα υπολογίσουμε τον k -όγκο μεταξύ των επιφανειών E και $E + dE$, και ωμα διαιρέσουμε με τον όγκο μιάς κατάστασης $dV_k = \frac{1}{(2\pi)^3/\Omega}$, και στη συνέχεια με τον όγκο του υλικού Ω .

$$dN = \frac{1}{\Omega} \frac{\Omega}{(2\pi)^3} \int_{\Delta V_k} d^3k \cdot 1$$

Για την ολοκλήρωση επιλέγουμε στοιχεία όγκου με παράλληλες στοιχειώδεις επιφάνειες με μέτρο dS_k σε απόσταση dk_\perp μεταξύ τους, όπου το dk_\perp είναι κάθετο στις επιφάνειες σταθερής ενέργειας σε καθε σημείο της επιφάνειας, και επομένως έχουμε $dE = |\vec{\nabla}_k E_k| dk_\perp$ καθόσον επιλέξαμε το dk_\perp παράλληλα στο $\vec{\nabla}_k E_k$, που είναι κάθετο στις επιφάνειες σταθερής ενέργειας. Ετσι ο όγκος V_k χωρίζεται σε στοιχεία

$$d^3k \rightarrow dS_k dk_\perp \rightarrow \frac{dS_k}{|\vec{\nabla}_k E_k|} dE$$

όπως φαίνεται στο Σχ. 7



Σχ. 7 k -όγκος ολοκλήρωσης για τον υπολογισμό της πυκνότητας καταστάσεων.

$$dN = \frac{1}{(2\pi)^3} \int_{V_k} dS_k dk_\perp = \frac{dE}{(2\pi)^3} \int_{S_k} \frac{dS_k}{|\vec{\nabla}_k E_k|}$$

όπου στην ολοκλήρωση το στοιχείο dS_k (με μονάδες $\sim 1/\text{μήκος}^2$) έχει κάθετο το $\vec{\nabla}_k E_k$, και εν γένει για πολύπλοκη επιφάνεια το επιφανειακό ολοκλήρωμα πρέπει να γίνει αριθμητικά. Επίσης θεωρήσαμε το dE αρκετά μικρό ώστε οι υπόλοιποι παράγοντες στο ολοκλήρωμα δεν μεταβάλλονται με την ενέργεια. Ετσι έχουμε

$$D(E) = \frac{2}{(2\pi)^3} \int_{S_k} \frac{dS_k}{|\vec{\nabla}_k E_k|}$$

όπου ο παράγοντας 2 οφείλεται στο σπιν. Γνώση της σχέσης διασποράς μας δίνει (τουλάχιστον αριθμητικά) την $D(E)$. Ετσι σαν επιβεβαίωση ας δούμε πάλι την ισοτροπική παραβολική σχέση διασποράς για το ελεύθερο ηλεκτρόνιο $E = \frac{\hbar^2 k^2}{2m}$. Τότε

$$\vec{\nabla}_k E_k = \frac{\hbar^2}{m} (k_x \hat{i} + k_y \hat{j} + k_z \hat{k}) \rightarrow |\vec{\nabla}_k E_k| = \frac{\hbar^2 k}{m},$$

ενώ το στοιχείο σφαιρικής επιφάνειας είναι $dS_k = k^2 d\Omega_k$, δημοσιεύοντας $d\Omega_k$ είναι το στοιχείο στερεάς γωνίας. Και αναπαράγουμε την πυκνότητα καταστάσεων

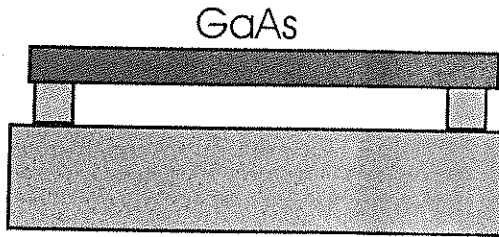
$$D(E) = \frac{1}{4\pi^3} \frac{m}{\hbar^2} k \int d\Omega_k = \frac{1}{2\pi^2} \left(\frac{2m}{\hbar^2} \right)^{3/2} \sqrt{E},$$

όπου χρησιμοποιήσαμε ότι το ολοκλήρωμα της στερεάς γωνίας είναι $\int d\Omega_k = 4\pi$ και αντικαταστήσαμε το k με την ενέργεια E , από τη σχέση διασποράς.

1.2 Πυκνότητα καταστάσεων: Κβαντικά πηγάδια, σύρματα και τελείες.

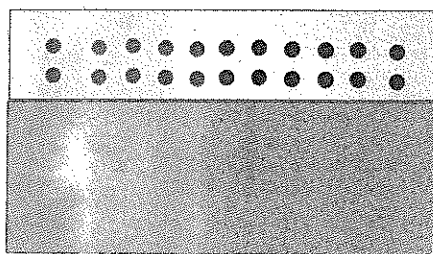
Οι προηγούμενες ιδανικές δομές μειομένων διαστάσεων έχουν αντίχρυσμα σε πραγματικές δομές όπου τα ηλεκτρόνια είναι εντοπισμένα¹ να κινούνται αντί σε έπιπεδο σε ένα λεπτό στρώμα και αντί για λεπτό σύρμα σε ένα σύρμα πεπερασμένου πάχους. Αυτό κάνει τις δομές τρισδιάστατες αλλά τα ηλεκτρόνια είναι εντοπισμένα στη μία (κβαντικό πηγάδι) η δύο διαστάσεις αντίστοιχα (κβαντικό σύρμα). Το πρώτο επιτυγχάνεται χρησιμοποιώντας ημιαγωγικές διατάξεις όπου έχουμε στρώματα ημιαγωγών με διαφορετικό χάσμα. Π.χ. η αντικατάσταση μερικών Ga για Al στο GaAs αυξάνει το χάσμα, που χωρίζει τη ζώνη σύνενους που είναι πλήρης από τη ζώνη αγωγιμότητας. Το χάσμα στο $Al_x Ga_{1-x} As$ μεταβάλλεται με το ποσοστό x του Al. Οταν διαφορετικά υλικά έρθουν σε επαφή τότε έχουν κοινή ενέργεια Fermi στην κατάσταση ισοροπίας. Που για ενδογενείς (χωρίς προσμίξεις) ημιαγωγούς σε χαμηλές θερμοκρασίες είναι στο μέσο του χάσματος. Ετσι στα τρία στρώματα του σχήματος $Al_x Ga_{1-x} As / GaAs / Al_x Ga_{1-x} As$ σχεδιάζεται το κάτω μέρος της ζώνης αγωγιμότητας $E_c(z)$ κάθετα στην ετεροδομή, που είναι η ελάχιστη ενέργεια που αισθάνεται το ηλεκτρόνιο. Στην z -κατεύθυνση αισθάνεται το δυναμικό ενός πηγαδιού $V(z)$, που είναι ανεξάρτητο του x και y , δηλ στις κατευθύνσεις x και y συμπεριφέρεται σαν ελεύθερο σωματίδιο. Για το κβαντικό σύρμα η αντίστοιχη κατασκευή στο Σ ;; έχουμε ένα σύρμα GaAs ορθογώνιας διατομής που περιβάλλεται κατά μήκος από ένα εξωτερικό στρώμα $Al_x Ga_{1-x} As$ και το ηλεκτρόνιο είναι περιορισμένο στο εσωτερικό σύρμα και είναι ελεύθερο στην z -κατεύθυνση καθόσον το δυναμικό είναι ανεξάρτητο του z . Να προσθέσουμε ότι όλες οι παραπάνω δομές είναι πραγματοποιήσιμες με πραγματικά υλικά και χρησιμοποιούνται σε σημαντικές εφαρμογές. Π.χ. τα κβαντικά πηγάδια χρησιμοποιούνται σε ημιαγωγικούς λέιζερ όπου η δομή επιλέγεται ώστε να έχουμε επιθυμητό μήκος κύματος εκπεμπόμενης ακτινοβολίας. Τα κβαντικά σύρματα έχουν επίσης εφαρμογές σε ανιχνευτές μορίων καθόσον η εναπόθεση μοριακών δεκτών (ευαίσθητων σε συγκεκριμένα μόρια) μπορεί να επιρεάσει σημαντικά την αγωγιμότητα του κβαντικού σύρματος και όταν ακόμη μικρός αριθμός μορίων δεσμευτεί από τους δέκτες. Οι κβαντικές τελείες από ημιαγώγιμα υλικά έχουν σημαντικές προπτικές όταν ενσωματωθούν σε μονωτικό υλικό.

Η αντίστοιχη κατασκευή για μία κβαντική τελεία, όπου ένας μικρός κύβος ή σφαίρα περικλείεται από υλικό με μεγαλύτερο χάσμα. Ετσι το ηλεκτρόνιο είναι εντοπισμένο και στις τρείς κατευθύνσεις. Η επιλογή του υλικού είναι τυχαία αρκεί να έχουμε ημιαγωγικά υλικά με διαφορετικό χάσμα όπου το υλικό με μικρότερο χάσμα λειτουργεί ως το εσωτερικό του πηγαδιού και το υλικό με το μεγαλύτερο χάσμα ως φράγμα όπου το ηλεκτρόνιο έχει μικρή διείσδυση.



Σχ.8 Κβαντικό πηγάδι

Σχ.9 Κβαντικό σύρμα



Σχ. 10 Κβαντική τελεία

1.2.1 Κβαντικό πηγάδι

Η χαμιλτονιανή ενός κβαντικού πηγαδιού περιγράφεται από την εξίσωση *Schrodinger* με³

$$H_{QW} = H_{r_{||}} + H_z \equiv -\frac{\hbar^2}{2m_{||}} \nabla_{xy}^2 - \frac{\hbar^2}{2m_z} \frac{\partial^2}{\partial z^2} + V(z), \quad \vec{r}_{||} = (x, y)$$

δηλ. είναι χωριζόμενων μεταβλητών στις τρείς κατευθύνσεις, όντας ελεύθερο στο $(x - y)$ επίπεδο και περιορισμένο στο δυναμικό $V(z)$ στην z -κατεύθυνση, και επομένως μπορούμε να λύσουμε ανεξάρτητα σε κάθε κατεύθυνση. Στην περίπτωση αυτή η χυματοσυνάρτηση είναι το γινόμενο των τριών συναρτήσεων και οι ιδιοενέργειες το άθροισμα των τριών ενεργειών με αντίστοιχους κβαντικούς αριθμούς.

Ας υπερβούμε ότι τα ηλεκτρόνια είναι περιορισμένα σε ένα επίπεδο διαστάσεων $L_x \times L_y$ στις δύο κατεύθυνσεις (Σχ. 5β), ενώ στην z -κατεύθυνση έχει πάχος $L_z \ll L_x, L_y$. Η λύση της εξίσωσης *Schrodinger* για ελεύθερα σωματίδια στο επίπεδο με περιοδικές οριακές συνθήκες είναι

$$\psi_{\vec{k}_{||}}(\vec{r}_{||}) = \sqrt{\frac{1}{S}} e^{i\vec{k}_{||} \cdot \vec{r}_{||}} \equiv \sqrt{\frac{1}{S}} e^{ik_x x} e^{ik_y y}, \quad \vec{k}_{||} = (k_x, k_y), \quad \vec{r}_{||} = (x, y)$$

κανονικοποιημένη σε επιφάνεια $S = L_x L_y$, με αντίστοιχη ενέργεια

$$E_{\vec{k}_{||}} = \frac{\hbar^2 k_x^2}{2m} + \frac{\hbar^2 k_y^2}{2m} \equiv \frac{\hbar^2 k_{||}^2}{2m}.$$

Εισάγοντας περιοδικές οριακές συνθήκες στις δύο κατευθύνσεις,

$$\psi(x + L_x, y, z) = \psi(x, y, z), \quad \psi(x, y + L_y, z) = \psi(x, y, z),$$

³Για γενίκευση θεωρήσαμε ότι η ενεργός μάζα είναι διαφορετική στο $x - y$ επίπεδο ($m_{||}$) και κάθετα (m_z). Αυτή είναι συνήθης περίπτωση σε ημιαγωγούς όπως είμαστε στο κάτω μέρος της ζώνης αγωγιμότητας.

οι δύο συνιστώσες του $\vec{k} = (k_x, k_y)$ παίρνουν διαχριτές τιμές,

$$\psi(x + L_x, y) = \psi(x, y) \implies e^{ik_x L_x} e^{i\vec{k}_{\parallel} \cdot \vec{r}_{\parallel}} = e^{i\vec{k}_{\parallel} \cdot \vec{r}_{\parallel}} \implies k_x = n_x \frac{2\pi}{L_x},$$

ώστε για τις δύο κατεύθυνσεις

$$k_x = n_x \frac{2\pi}{L_x}, \quad k_y = n_y \frac{2\pi}{L_y},$$

όπου $n_x, n_y = 0, \pm 1, \pm 2, \dots$ είναι ακέραιοι αριθμοί. Ετσι κάθε κατάσταση στον \vec{k}_{\parallel} -χώρο καταλαμβάνει \vec{k}_{\parallel} -επιφάνεια $\delta S_k = (2\pi)^2/S$, όπου $S = L_x L_y$ είναι η επιφάνεια του επιπέδου.

Στην z κατεύθυνση έχουμε να λύσουμε το πρόβλημα

$$H_z \phi_n(z) \equiv \left(-\frac{\hbar^2}{2m_z} \frac{\partial^2}{\partial z^2} + V(z) \right) \phi_n(z) = \epsilon_n \phi_n(z)$$

όπου έχουμε διαχριτές καταστάσεις με ενέργεια ϵ_n , $n = 1, 2, \dots$. Συνοψίζοντας οι ιδιοκαταστάσεις είναι

$$\Psi_{n,k_x,k_y}(x, y, z) = \psi_{\vec{k}_{\parallel}}(\vec{r}_{\parallel}) \phi_n(z) \equiv \sqrt{\frac{1}{S}} e^{ik_x x} e^{ik_y y} \phi_n(z)$$

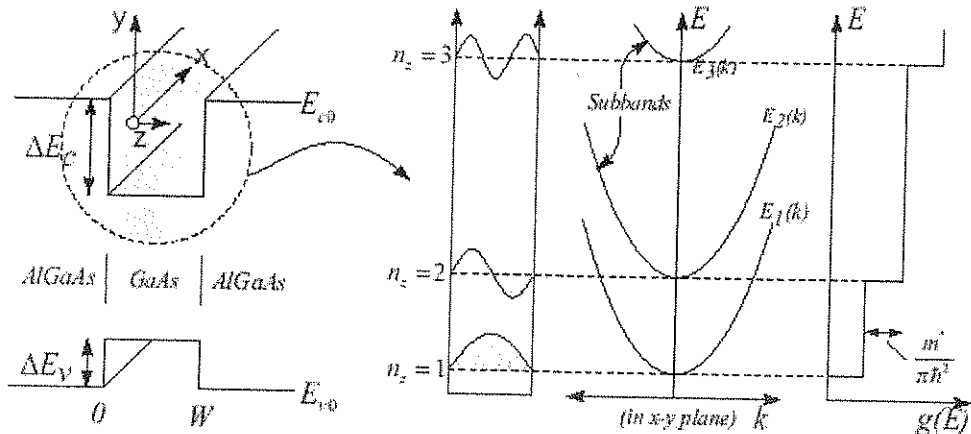
με ιδιοενέργειες

$$E(n, k_x, k_y) = \epsilon_n + \frac{\hbar^2}{2m_{\parallel}} (k_x^2 + k_y^2)$$

όπου n παίρνει διαχριτές τιμές και k_x, k_y σχεδόν συνεχείς τιμές σχηματίζοντας υποζώνες όπως φαίνεται στο Σχ. 7 όπου σχεδιάσαμε τις δύο πρώτες υποζώνες $n = 1, 2$ συναρτήσει του k_x . Εάν στο τρίτο άξονα βάλουμε το k_y τότε η παραβολή στο διάγραμμα γίνεται παραβολοειδές. Ετσι η ελάχιστη ενέργεια είναι η ϵ_1 και μέχρι την $n = 2$ δέσμια κατάσταση έχουμε ένα διδιάστατο αέριο, του οποίου την πυκνότητα καταστάσεων ξέρουμε να υπολογίζουμε. και είδαμε ότι είναι σταυρή ανεξάρτητη της ενέργειας. Κάθε φορά όμως που περνάμε από την επόμενη δέσμια κατάσταση n έχουμε ένα νέο σύνολο καταστάσεων στο $k_x - k_y$ επίπεδο και πρέπει να τις προσθέσουμε στην πυκνότητα καταστάσεων της προηγούμενης υποζώνης. Ετσι η πυκνότητα καταστάσεων για το χβαντικό πηγάδι φαίνεται στο Σχ.8 και μπορεί να γραφεί ως

$$D_{QW}(E) = \sum_{n=1}^{\infty} \frac{m}{\hbar^2 \pi} \Theta(E - \epsilon_n)$$

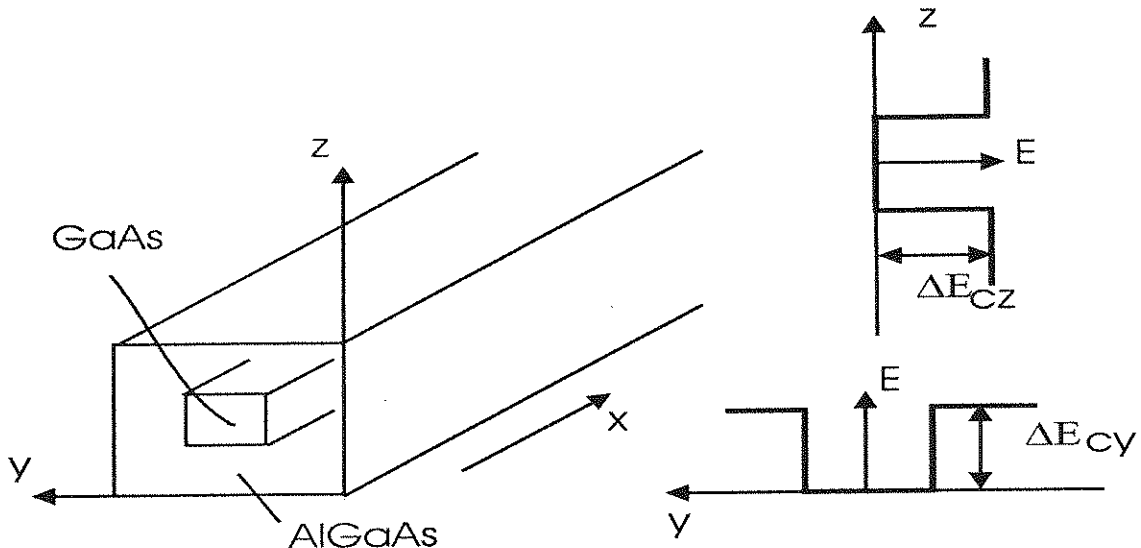
όπου $\Theta(E - \epsilon_n) = 1, 0$ για $E > \epsilon_n$ ή $E < \epsilon_n$ αντίστοιχα, είναι η συνάρτηση Heaviside και ϵ_n οι ενέργειες των δέσμιων καταστάσεων.



11α. Ενεργειακές υποζώνες σαν συνάρτηση του k_x . (β) Πυκνότητα καταστάσεων σαν συνάρτηση της ενέργειας, $D_{QW}(E)$, για το χβαντικό πηγάδι.

Στο όριο $L_z \rightarrow 0$ η ενεργειακή απόσταση ανάμεσα στις δέσμιες καταστάσεις είναι μεγάλη και μόνο η πρώτη υποζώνη θα καλυφθεί, και συμφωνούμε με το αποτέλεσμα για το ηλεκτρόνιο στο επίπεδο. Στο άλλο όριο $L_z \rightarrow \infty$ πρέπει να πάρουμε το τρισδιάστατο αέριο, καθόσον το άνθροισμα στο n θα μετατραπεί σε ολοκλήρωμα, γιατί και στη z -κατεύθυνση έχουμε συνεχές ενεργειακό φάσμα.

1.2.2 Κβαντικό σύρμα



Σχ. 12 (α) Κβαντική ετεροδομή με σύρμα $GaAs$ που περιβάλλεται από στρώμα $AlGaAs$. Στο σχεδιάγραμμα δίνεται η δυναμική ενέργεια $V(x, y) = V_x(x) + V_y(y)$ πάνω στην διατομή. (β) Πυκνότητα καταστάσεων.

Ας θεωρήσουμε ότι τα ηλεκτρόνια είναι περιορισμένα σε ένα πολύ λεπτό σύρμα μήκους L_z και διατομής $L_x \times L_y$ ($L_z \gg L_x, L_y$) (Σχ. 9γ). Η λύση της εξίσωσης Schrodinger για ελεύθερα σωματίδια στην z είναι

$$\psi_k(z) = \sqrt{\frac{1}{L}} e^{ikz},$$

κανονικοποιημένη σε μήκος L με αντίστοιχη ενέργεια

$$E_k = \frac{\hbar^2 k^2}{2m}.$$

Εισάγοντας περιοδικές οριακές συνθήκες στην z -κατεύθυνση,

$$\psi(z + L_z) = \psi(z) \implies e^{ikL_z} e^{ikz} = e^{ikz} \implies k = n \frac{2\pi}{L_z},$$

όπου $n = 0, \pm 1, \pm 2, \dots$ είναι ακέραιος αριθμός. Στις άλλες δύο κατευθύνσεις έχουμε περιορισμό με $V(x, y) = V_x(x) + V_y(y)$, δηλ. πάλι η χαμιλτονιανή είναι χωριζομένων μεταβλητών. Εάν μάλιστα θεωρήσουμε ότι το σύρμα έχει τετραγωνική διατομή και άπειρα τοιχώματα τότε στις $x - y$ κατευθύνσεις οι χυματοσυναρτήσεις είναι αυτές του απειρόβαθου πηγαδιού. Ετσι οι ιδιοσυναρτήσεις είναι

$$\psi_{n_x, n_y, k}(x, y, z) = \phi_{n_x, n_y}(x, y) \sqrt{\frac{1}{L_z}} e^{ikz}, \quad \phi_{n_x, n_y}(x, y) = \frac{2}{L_x L_y} \cos\left(\frac{n_x \pi x}{L_x}\right) \cos\left(\frac{n_y \pi y}{L_y}\right)$$

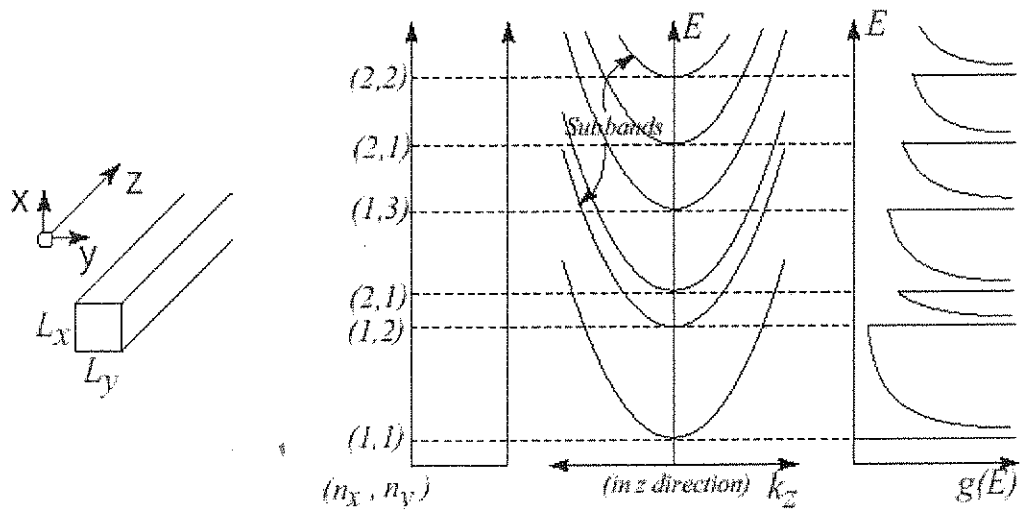
$$E_{n_x, n_y, k} = \epsilon_{n_x} + \epsilon_{n_y} + \frac{\hbar^2 k^2}{2m}$$

$$\epsilon_{n_x, n_y} \equiv \epsilon_{n_x} + \epsilon_{n_y} = +\frac{\hbar^2 \pi^2}{2m} \left(\frac{n_x^2}{L_x^2} + \frac{n_y^2}{L_y^2} \right)$$

Στο Σχ. 9α σχεδιάζουμε τις ενεργειακές υποζώνες για το κβαντικό σύρμα, όπου το k παίρνει σχεδόν συνεχείς τιμές και έτσι για κάθε δέσμια κατάσταση ϵ_{n_x, n_y} έχουμε μία υποζώνη με χαμηλότερη ενέργεια $\epsilon_{1,1}$ (και ϵ_{n_x, n_y} για τις επόμενες υποζώνες). Εάν $L_x = L_y$ τότε έχουμε εκφυλισμό στις δέσμιες καταστάσεις, π.χ. $\epsilon_{1,2} = \epsilon_{2,1}$ και πρέπει να το πάρουμε υπόψη. Για την πυκνότητα καταστάσεων μπορούμε να γράψουμε

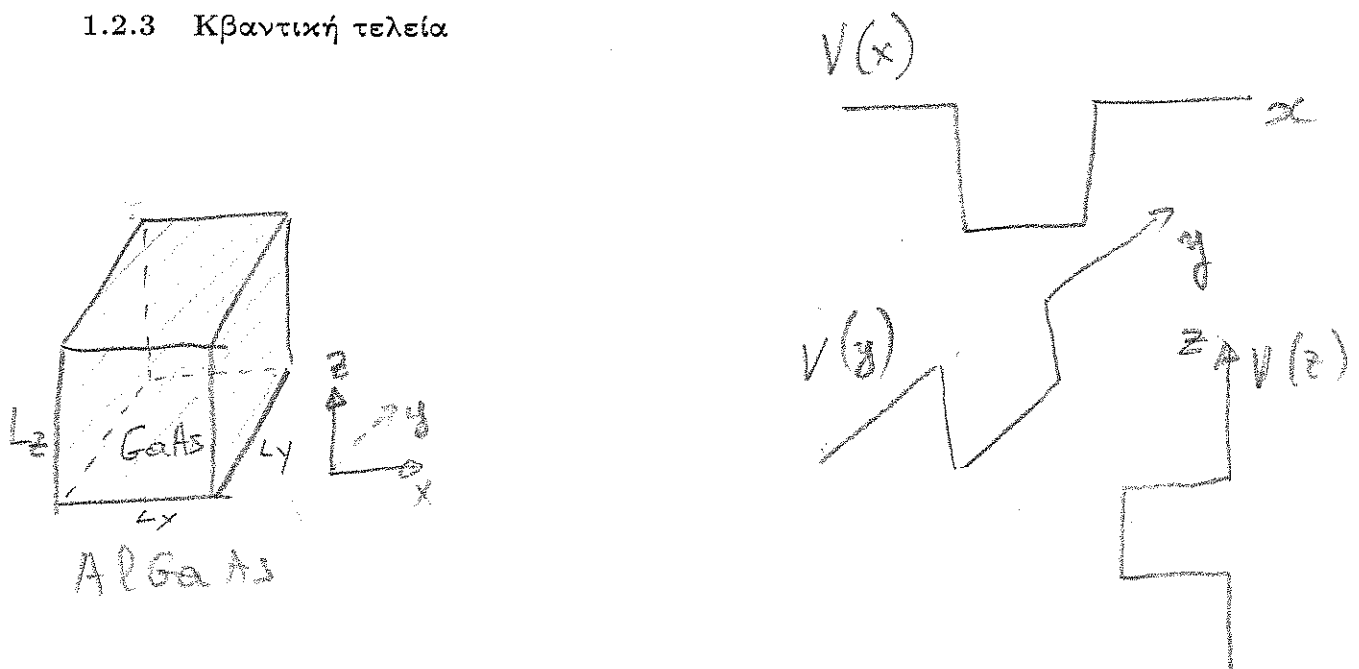
$$D(E) = \sum_{n_x, n_y=1,1}^{\infty, \infty} \frac{L_z}{\pi \hbar} \sqrt{\frac{m}{2(E - \epsilon_{n_x, n_y})}} \Theta(E - \epsilon_{n_x, n_y})$$

Στο όριο $E \rightarrow \epsilon_{n_x, n_y}$ έχουμε απειρισμό $D(E) \rightarrow \infty$.



13α. Ενεργειακές υποζώνες σαν συνάρτηση του k . (β) Πυκνότητα καταστάσεων σαν συνάρτηση της ενέργειας, $D_{wire}(E)$, για το κβαντικό σύρμα.

1.2.3 Κβαντική τελεία



Σχ. 12 (α) Κβαντική ετεροδομή με κυβική τελεία GaAs που περιβάλλεται από στρώμα AlGaAs. Στο σχεδιάγραμμα δίνεται η δυναμική ενέργεια $V(x, y) = V_x(x) + V_y(y) + V_z(z)$. (β) Πυκνότητα καταστάσεων με διακριτό φύσισμα.

Ας θεωρήσουμε ότι τα ηλεκτρόνια είναι περιορισμένα σε ένα μικρό κύβο διαστάσεων $L_x \times L_y \times L_z$ (L_z, L_x, L_y όχι απαραίτητα ίσα) (Σχ. 9γ) με δυναμικό $V(x, y) = V_x(x) + V_y(y)$, δηλ. πάλι η χαμιλτονιανή είναι χωριζούμενων μεταβλητών. Η λύση της εξίσωσης Schrodinger για ελεύθερα σωματίδια με μηδενικές οριακές συνθήκες στις τρείς κατευθύνσεις είναι

$$\psi_{\vec{k}}(x, y, z) = \phi_{k_x}(x)\phi_{k_y}(y)\phi_{k_z}(z),$$

με τη μορφή στάσιμων κυμάτων οι κυματοσυναρτήσεις είναι αυτές του απειρόβαθου πηγαδιού.

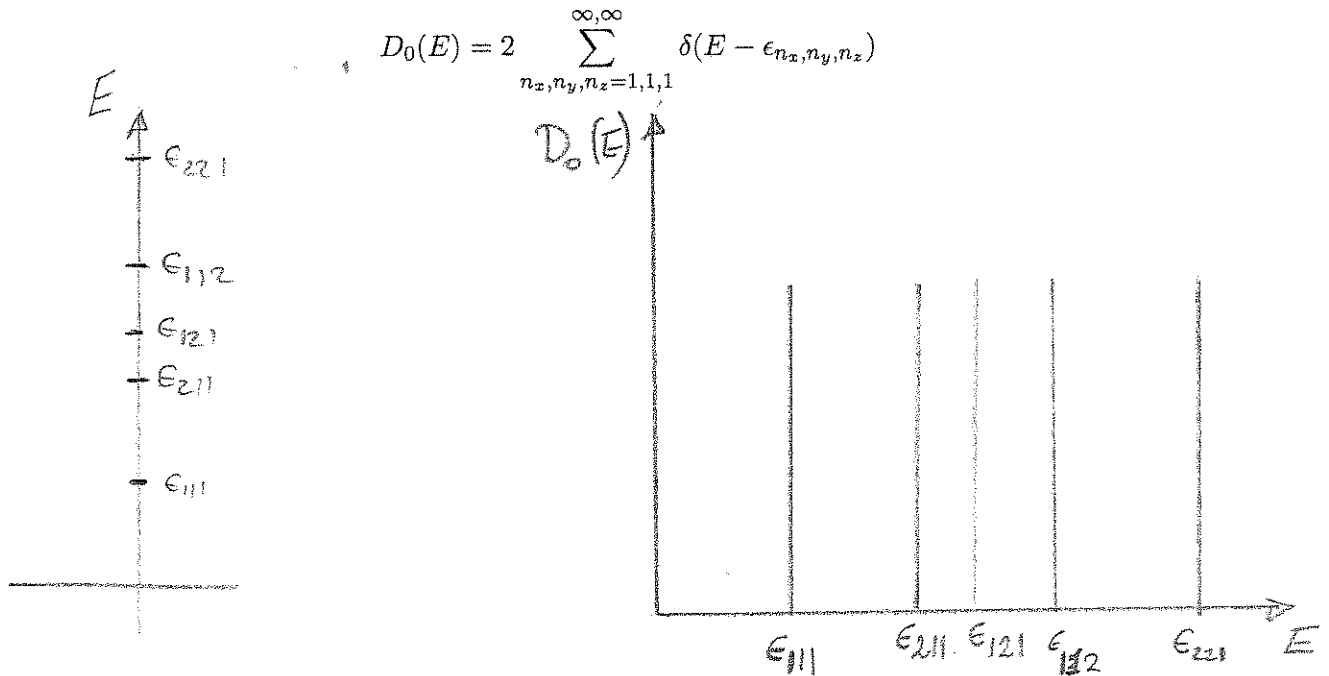
$$\phi_{k_x}(x) = \sqrt{\frac{2}{L_x}} \sin(k_x x), \quad k_x = n_x \frac{\pi}{L_x}$$

κανονικοποιημένη σε μήκος L_x και ομοίως για $\phi_{k_y}(y)$ και $\phi_{k_z}(z)$, όπου θεωρήσαμε άπειρα τοιχώματα, με αντίστοιχη ενέργεια

$$E_{\vec{k}} = \frac{\hbar^2}{2m} (k_x^2 + k_y^2 + k_z^2) = \frac{\hbar^2}{2m} (n_x^2 (\frac{\pi}{L_x})^2 + n_y^2 (\frac{\pi}{L_y})^2 + n_z^2 (\frac{\pi}{L_z})^2). \equiv \epsilon_{n_x, n_y, n_z}$$

$$k_i = n_i \frac{\pi}{L_i}, \quad n_i = 1, 2, \dots$$

Στο Σχ. 14α σχεδιάζουμε τις διακριτές ενέργειακές καταστάσεις για την κβαντική τελεία. Εάν $L_x = L_y$ ή L_z τότε έχουμε εκφυλισμό στις δέσμιες καταστάσεις, π.χ. $\epsilon_{1,2,1} = \epsilon_{2,1,1}$ και πρέπει να το πάρουμε υπόψη. Για την πυκνότητα καταστάσεων μπορούμε να γράψουμε



14α. Ενέργειακό φάσμα και (β) Πυκνότητα καταστάσεων σαν συνάρτηση της ενέργειας, $D_{dot}(E)$, για την κβαντική τελεία.